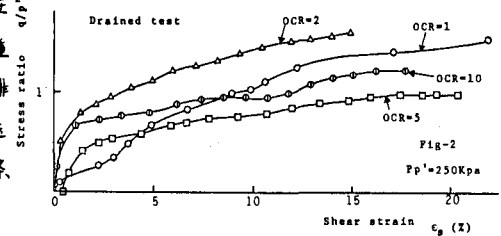
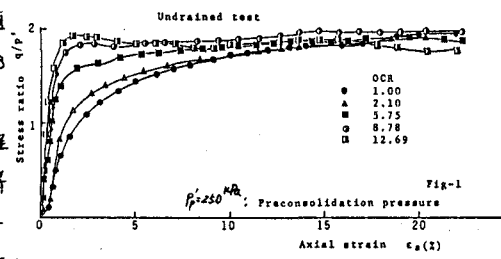


防衛大学校 ○ 角謙二・金子 健一
〃 山内 邦彦・山口 晴幸

1. はじめに

粘性土や砂質土等の無機質土に比較して植物性有機物を含む有機質土の力学的性質に関する研究は非常に少ない。本報告は、飽和と未有機質土についての軸対称三軸圧縮せん断試験を実施し、排水および非排水条件下での基本的せん断特性について実験的に考察したものである。

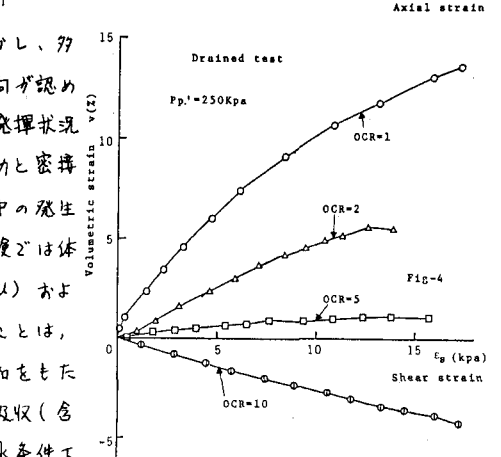
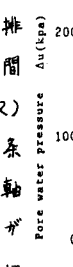
2. 試料と実験方法 試料は埼玉県大宮市郊外の泥炭地から採取した有機質土²、通常黒っぽく土と言われています。試料の物理的性質は完全に分解した有機物が強熱減量値 (L_i) で 25.4%、L.L. = 147.1%、P.L. = 67.5%、I.P. = 79.6%、G.S. = 2.33 であった。 $\text{420 }\mu\text{m}$ のものを通過した泥水試料を鉛直応力 60 kPa で一次元的に圧密して作製した飽和試料を一キサル直径 50 mm、高さ 125 mm の繰返し再圧密試験体をトリミングした。等方応力条件の下で圧密過程から 100 kPa のバックプレッシャーを載荷して、供試体はそれまで正規圧密と過圧密とした。過圧密供試体は先行圧密圧力 250 kPa とし、その応力状態から各種の過圧密比 (OCR) になるように吸水徐荷と作製された。非排水および排水せん断試験はいずれもひずみ制御せん断応力を載荷し、前者はひずみ速度 $\dot{\epsilon} = 0.05\%/\text{min}$ 、後者は完全な排水条件が満足されることを確認して $\dot{\epsilon} = 0.00083\%/\text{min}$ とした。



3. 実験結果と考察

i) 変形特性

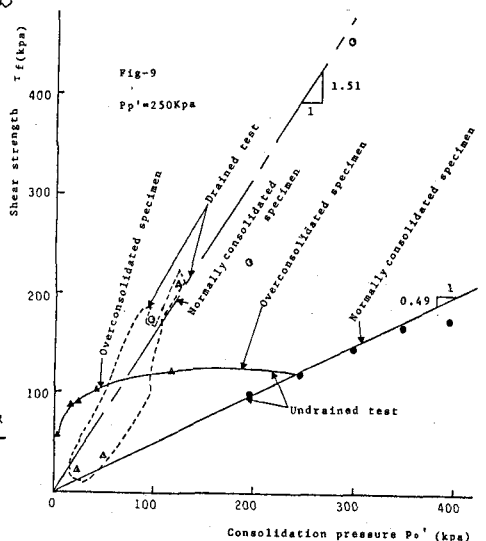
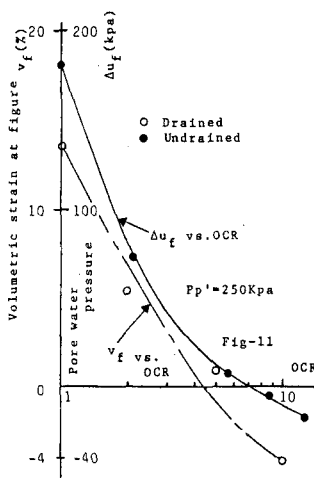
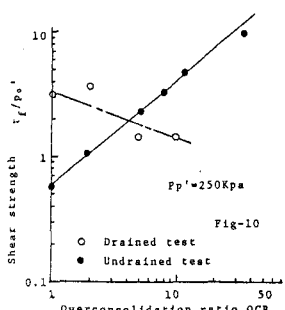
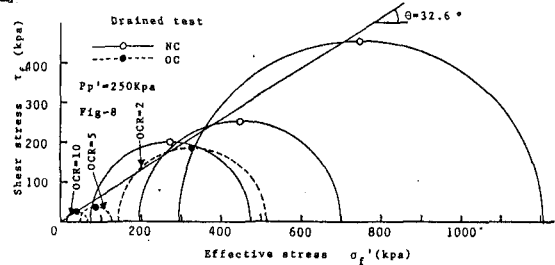
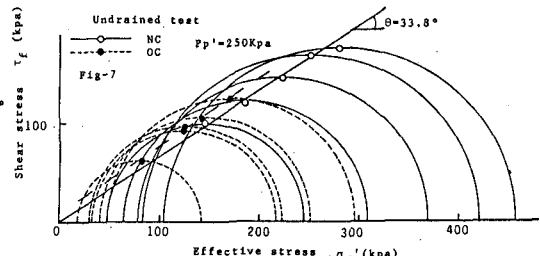
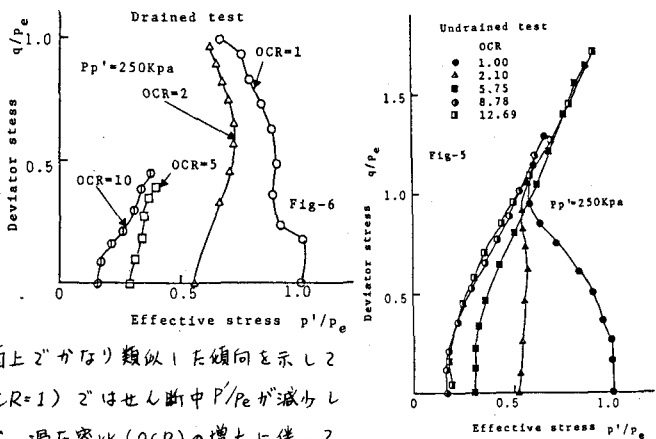
図 1~4 は排水および非排水条件下での有機質土の応力～ひずみ～間隙水圧挙動における応力履歴、即ち、過圧密比 (OCR) の影響について示したものである。図 1 に示す非排水条件下での応力比 (σ/σ' , $\sigma = \sigma_1 - \sigma_3$, $\sigma' = (\sigma_1' + 2\sigma_3')/3$) ～軸ひずみ ϵ_a 関係は過圧密比 (OCR) の増加に伴い初期傾度が増加する関係を表し、せん断変形の進行に伴って OCR は依存せず σ/σ' 値がある一定値に収束する結果を示している。しかし、少しひずみはあるが、図 2 に示す排水試験では逆のようないきなりの傾向が認められる。このように、OCR の相違による変形に伴う σ/σ' 値の発揮状況の異なりは図 3 と 4 に示す間隙水圧 (Δu) と体積ひずみ (Δv) の挙動と密接に関連している。すなわち、OCR の増加に伴い非排水せん断中の発生間隙水圧 (Δu) は正から負に転じ、これに対応して、排水試験では体積収縮 ($\Delta v < 0$) から体積膨張 ($\Delta v > 0$) 傾向へと、間隙水圧 (Δu) やびて体積ひずみ (Δv) の方向が変化することがわかる。このことは、上述したように、OCR の増大が非排水試験では有効応力の増加をもたらし、せん断抵抗角 (σ/σ') の増加、一方、排水試験では水の吸収(含水比の増加)が σ/σ' 値の低下を引き起こすことになり、非排水条件下



の間隙水圧 (Δu) と排水条件下での体積ひずみ (ϵ) とが表裏一体の関係にあることがわかった。このような結果は、通常の粘性土と同様に、有機質土のサイレイタニーサイドの応力履歴依存性を実証したと言える。

ii) 応力経路 図5と6は排水と非排水両条件下での有効応力経路を等価圧密圧力 (P_e) 正規化 $1/2 \sim P'/P_e$ 面上にプロットしたものである。両条件下での応力経路は $\sigma/\sigma_e \sim P'/P_e$ 面上でかなり類似した傾向を示していることがわかる。即ち、正規圧密供試体 ($OCR=1$) の場合はせん断中 P'/P_e が減少し有効応力経路が原点から遠ざかる軌跡を示すが、過圧密比 (OCR) の増大と共に P'/P_e が増加し逆に有効応力経路は原点から遠ざかる軌跡を呈し、非排水と排水両条件下で同一のロスコ一面上とボルスレフ面上により形成される状態境界面の存在が想定される。また、過圧密供試体 ($OCR > 1$) に関する結果から、ロスコ一らの粘性土に関する弾性壁の概念が本有機質土にも適用される可能性が示唆される。

iii) 強度特性 破壊時のモードルの応力円を示したのが図7と8である。非排水試験での正規圧密供試体 (NC) の有効せん断抵抗角 ϕ' ($\tan \phi' = \sin \phi_d'$) は過圧密供試体 (OC) の ϕ' と一致し (図7)、図8より排水試験での ϕ_d' ($\tan \phi = \sin \phi_d$) にほぼ近いことがわかる。また図9と10に示すせん断強さ (τ_f) と圧密圧力 (P'_e) との関係は正規圧密供試体では非排水および排水試験でほぼ直線的関係を呈し、 τ_f が P'_e とほぼ比例的関係にあることがわかる。図10によると、 $OCR = 5$ 附近を境として排水せん断強さが非排水せん断強さより小さくなり、この結果は図11に示す破壊時の間隙水圧 Δu_f と体積ひずみ ϵ_f が正か反対に変化することと呼応している。



(参考文献) (1) J.H. ATKINSON, P.L. BRANSBY 「Soil Mechanics」 (1978) McGRAW-HILL